

学 号： 2014218xxx

密 级： 密级

合肥工业大学

Hefei University of Technology

本科毕业设计（论文）

UNDERGRADUATE THESIS



类 型： 【设计或者论文】

题 目： 合肥工业大学学位论文 L^AT_EX 模板

专业名称： 【专业全称】

入校年份： 【20XX 级】

学生姓名： Netcan

指导教师： 【姓名】【职称】

系名称： 【系全称】

完成时间： 2019 年 5 月

合 肥 工 业 大 学

本科毕业设计（论文）

合肥工业大学学位论文 L^AT_EX 模板

学生姓名： Netcan

学生学号： 2014218xxx

指导教师： 【姓名】【职称】

专业名称： 【专业全称】

系名称： 【系全称】

2019 年 5 月

A Dissertation Submitted for the Degree of Bachelor

L^AT_EX-based HFUT Thesis Template

By

Netcan

Hefei University of Technology

Hefei, Anhui, P.R.China

5 Month, 2019 Year

毕业设计（论文）独创性声明

本人郑重声明：所呈交的毕业设计（论文）是本人在指导教师指导下进行独立研究工作所取得的成果。据我所知，除了文中特别加以标注和致谢的内容外，设计（论文）中不包含其他人已经发表或撰写过的研究成果，也不包含为获得合肥工业大学或其他教育机构的学位或证书而使用过的材料。对本文成果做出贡献的个人和集体，本人已在设计（论文）中作了明确的说明，并表示谢意。

毕业设计（论文）中表达的观点纯属作者本人观点，与合肥工业大学无关。

毕业设计（论文）作者签名： 签名日期： 年 月 日

毕业设计（论文）版权使用授权书

本学位论文作者完全了解 合肥工业大学 有关保留、使用毕业设计(论文)的规定,即:除保密期内的涉密设计(论文)外,学校有权保留并向国家有关部门或机构送交设计(论文)的复印件和电子光盘,允许设计(论文)被查阅或借阅。本人授权 合肥工业大学 可以将本毕业设计(论文)的全部或部分内容编入有关数据库,允许采用影印、缩印或扫描等复制手段保存、汇编毕业设计(论文)。

(保密的毕业设计(论文)在解密后适用本授权书)

学位论文作者签名：

簽名日期： 年 月 日

指导教师签名:

簽名日期： 年 月 日

摘 要

[illegible][illegible]

关键词: XXX; XXX; XXX; XXX; XXX

ABSTRACT

[illegible][illegible]

KEYWORDS: xxx; xxx; xxx; xxx; xxx

目 录

1 绪论	1
1.1 XXXXXX	1
1.1.1 XXXXXX	1
2 XXXXXXXX	2
参考文献	5
致谢	6
附录	7

插图清单

图 2.1 酶解时间对 DH 与 ACE 抑制率的影响	3
图 2.2 X X X X X X X X X X	3

表格清单

表 2.1 三种肌球蛋白/多糖混合凝胶的红外光谱数据	4
表 2.2 分栏表	4

1 绪论

1.1 XXXXXX

1.1.1 XXXXXX

XX
XX
XX。

.....

.....

.....

2 X X X X X X

代码示例¹

```
1 import numpy as np
2
3 def incmatrix(genl1,genl2):
4     m = len(genl1)
5     n = len(genl2)
6     M = None #to become the incidence matrix
7     VT = np.zeros((n*m,1), int) #dummy variable
8
9     #compute the bitwise xor matrix
10    M1 = bitxormatrix(genl1)
11    M2 = np.triu(bitxormatrix(genl2),1)
12
13    for i in range(m-1):
14        for j in range(i+1, m):
15            [r,c] = np.where(M2 == M1[i,j])
16            for k in range(len(r)):
17                VT[(i)*n + r[k]] = 1;
18                VT[(i)*n + c[k]] = 1;
19                VT[(j)*n + r[k]] = 1;
20                VT[(j)*n + c[k]] = 1;
21
22            if M is None:
23                M = np.copy(VT)
24            else:
25                M = np.concatenate((M, VT), 1)
26
27            VT = np.zeros((n*m,1), int)
28
29    return M
```

图示例

¹这是脚注

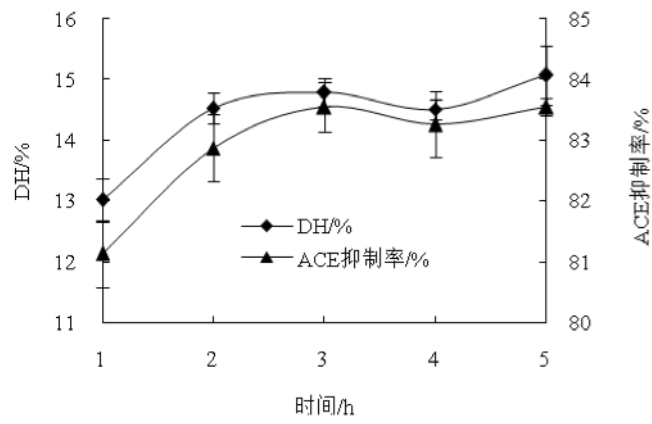


图 2.1 酶解时间对 DH 与 ACE 抑制率的影响

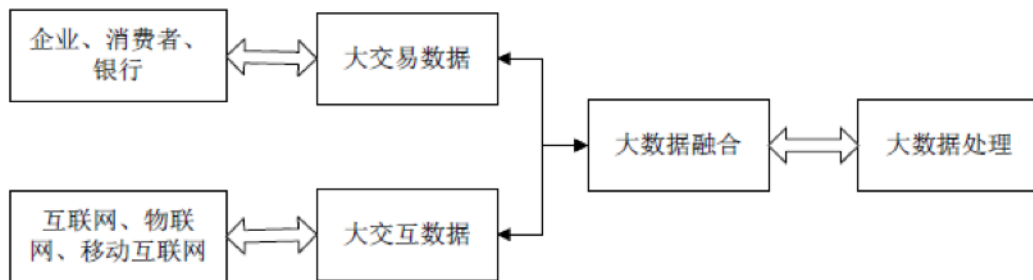


图 2.2 X X X X X X X X X

表示例

表 2.1 三种肌球蛋白/多糖混合凝胶的红外光谱数据

Treatment	FT-IR spectra numbers (cm ⁻¹)			
	PK1	PK2	PK3	PK4
Myosin gel	3439	—	1655	1106
Myosin+ 1% KCG gel	3358	3006	1655	1131
Myosin+ 1% LBG gel	3366	3006	1655	1106
Myosin+ 1% WSC gel	3439	—	1655	1106

表 2.2 分栏表

年度	产品	产量	销量	产值
2004	手机	11000	10000	500
	计算机	1100	1000	280
2005	手机	16000	13000	550
	计算机	2100	1500	320

参考文献

- [1] 马建勋, 梅占馨. 筒仓在地震作用下的计算理论 [J]. 土木工程学报, 1997, 30(1): 25–30.
- [2] ABDEL-FATTAH M T, MOORE I D, ABDEL-FATTAH T T. A numerical investigation into the behavior of ground-supported concrete silos filled with saturated solids[J]. International journal of solids and structures, 2006, 43(13): 3723–3738.
- [3] NAGAI T, KURATA M, NAKAMURA T, et al. Properties of myofibrillar protein from Japanese stingfish (*Sebastes inermis*) dorsal muscle[J]. Food research international, 1999, 32(6): 401–405.
- [4] 汤明, 余兆菊, 兰琳, et al. 液态聚碳硅烷改性对固态聚碳硅烷纺丝和交联性能的影响 [C]. 复合材料——基础, 创新, 高效: 第十四届全国复合材料学术会议论文集 (上). 2006.
- [5] HARRIS E C, von NAD J D. Experimental determination of effective weight of stored material for use in seismic design of silos[C]. Journal Proceedings: Vol 82. 1985: 828–833.
- [6] 金宏. 导航系统的精度及容错性能的研究 [J]. 北京: 北京航空航天大学自动控制系统, 1998.
- [7] 姜锡洲. 一种温热外敷药制备方案 [J]. 中国专利, 1989, 881056073: 1989–07.
- [8] 2012 G. 构筑物抗震设计规范 [S][D]. [S.l.]: [s.n.], 2012.
- [9] NHO K, AGARWAL R K. Automatic landing system design using fuzzy logic[J]. Journal of Guidance, Control, and Dynamics, 2000, 23(2): 298–304.

致谢

本论文是在指导老师XXXXXXXXXXXXXXXXXXXXXXXXXXXX
XX
XX。

XX
XXX.

作者: Netcan

2019 年 5 月 30 日

附录

【说明：以下内容可放在附录之内：(1) 正文内过于冗长的公式推导；(2) 方便他人阅读所需的辅助性数学工具或表格；(3) 重复性数据和图表；(4) 论文使用的主要符号的意义和单位；(5) 程序说明和程序全文。可按“附录 1 XXX”、“附录 2 XXX”、……，分章书写。如无需附录，请删除此页。】